



Universitätsklinikum Würzburg  
Julius-Maximilians-Universität Würzburg



# Eine praktische IMRT Technik für große Zielvolumen

Anne Richter, Klinik und Poliklinik für Strahlentherapie, Würzburg

Jürgen Meyer, Universität Canterbury, Christchurch, NZ



# Gliederung



- Einleitung / Motivation
- Ansätze aus der Literatur
- Alternativer Ansatz
- Evaluierung
- Fazit



## Beispiel Patient

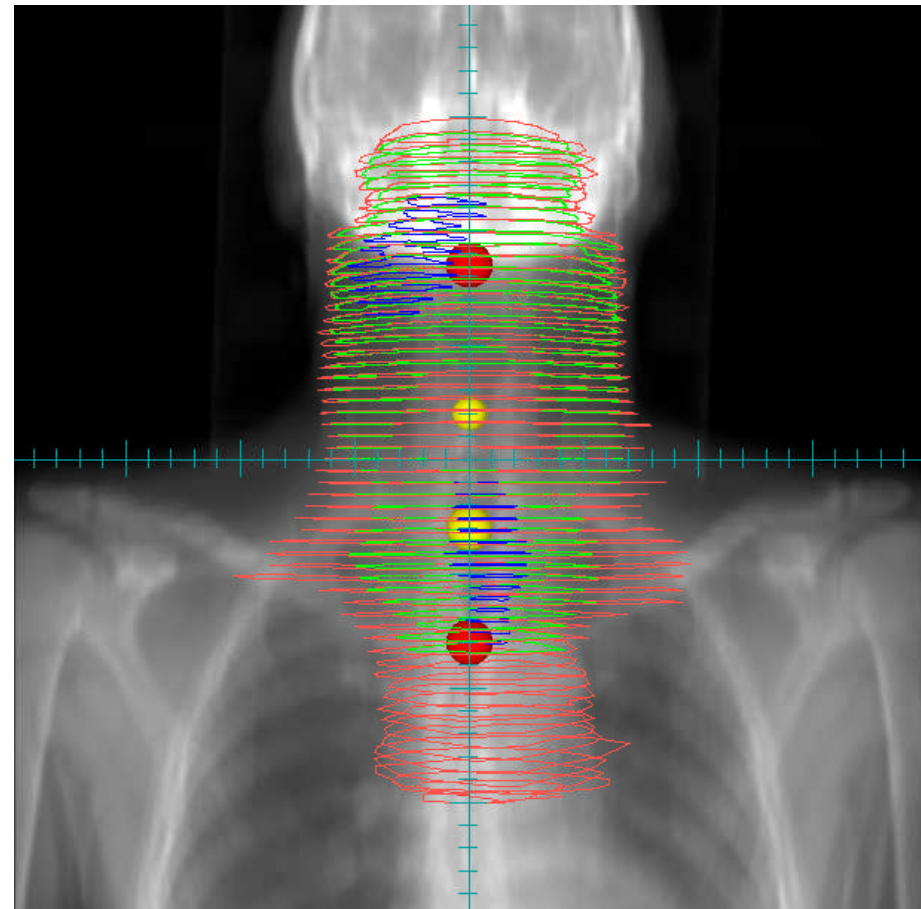
- Großes Zielvolumen
- Integrierte Boost-Technik  
→ drei Dosislevel

## Limits

- MLC-Geometrie

## Idee

- Zielpunkte, SSD



## **Bestehende Ansätze**

---

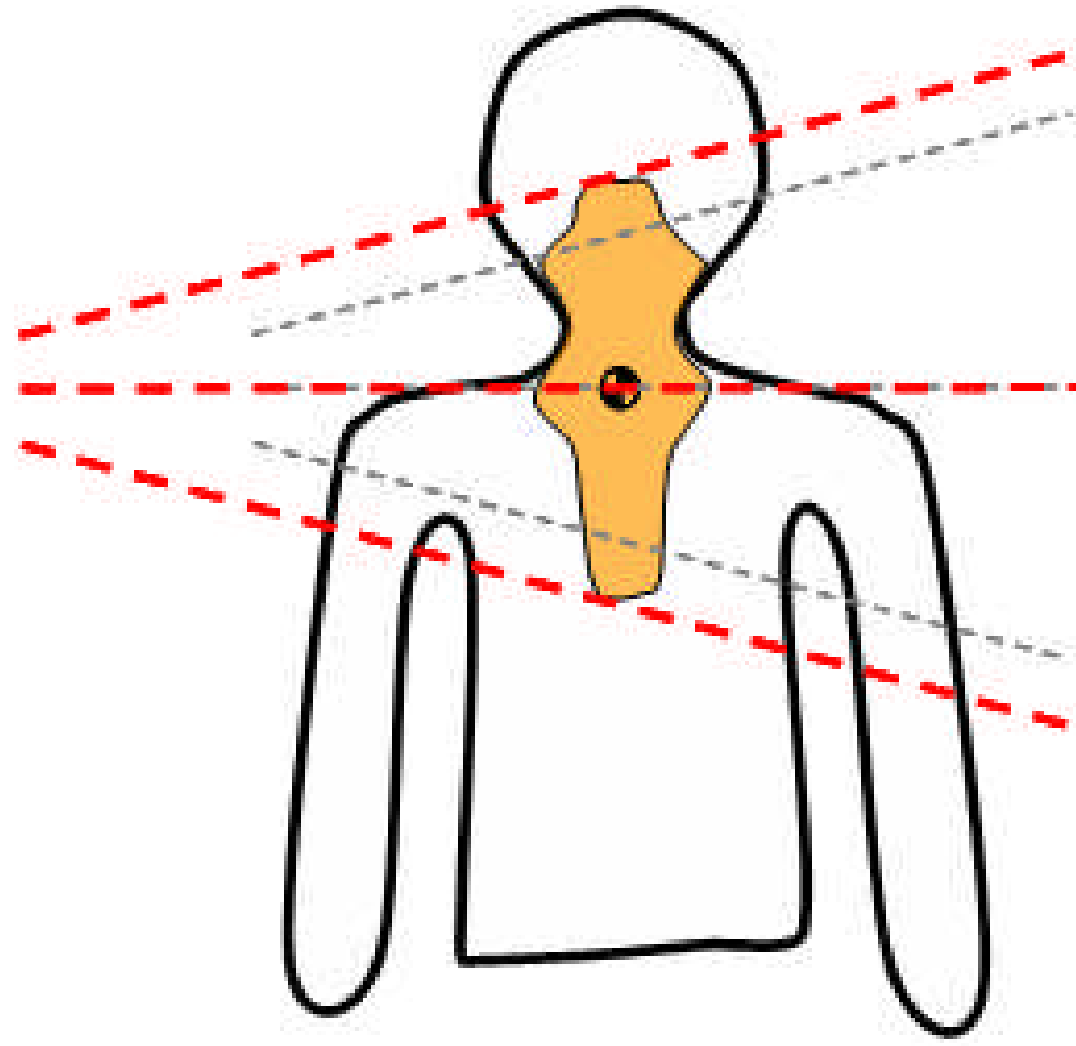


- Erweiterte SSD Technik
  - Tomotherapie
  - Isozentrische X-Technik
  - Dynamic Feathering Method
- 
-

## Erweiterte SSD Technik



- SSD vergrößern  
→ Abdeckung des Zielvolumens



## Erweiterte SSD Technik

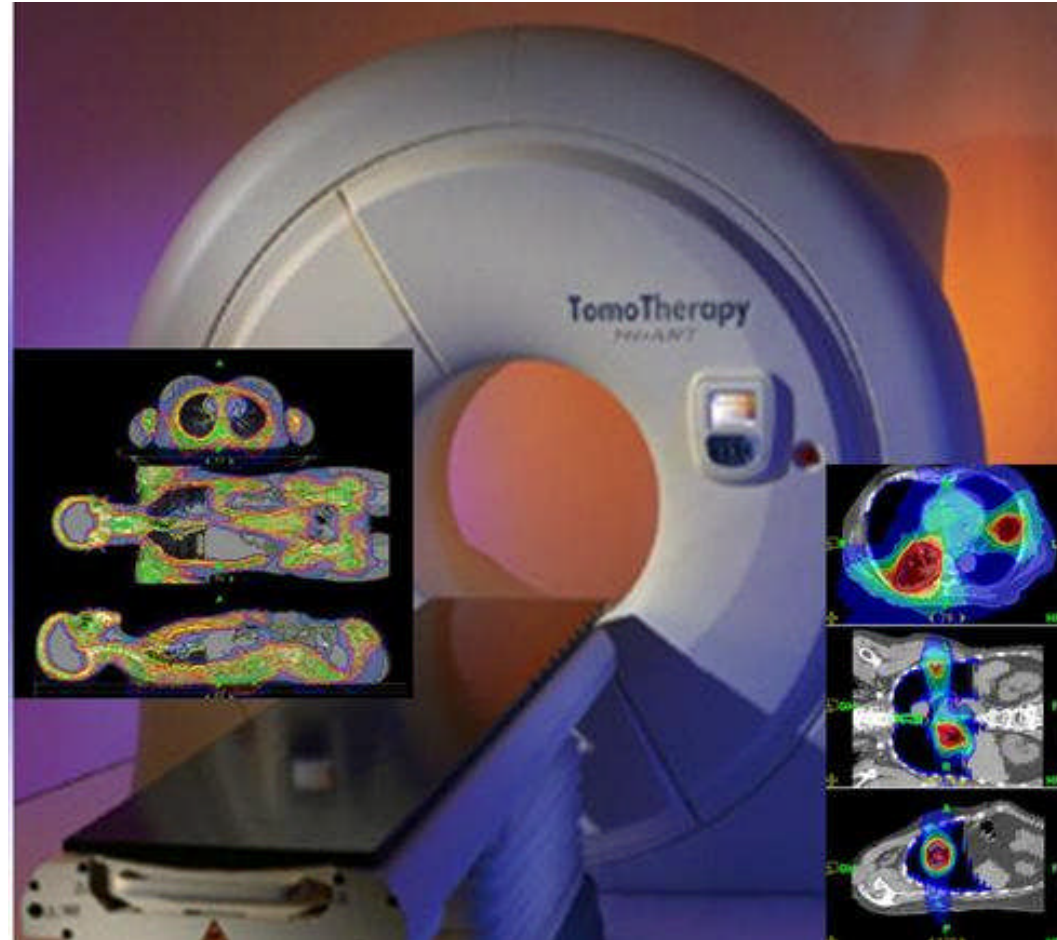


- Beispiel:  
9 Felder IMRT → 9 Zielpunkte
- Anfälligkeit für Setup-Errors
- erhöhter Aufwand für IMRT-QA und Behandlung
- Radiobiologische Effektivität
- Malhotra et al.  
"Technical and dosimetric considerations in IMRT treatment planning for large target volumes".  
J Appl Clin Med Phys, 6(4): 77-87 (2005)

# Tomotherapie



- konformale Technik
- Schonung OARs
- flexibel in räumlicher Ausdehnung



- spezielles Equipment

- Sheng et al.

Intensity-modulated radiation therapy (IMRT)  
dosimetry of the head and neck: a comparison of  
treatment plans using linear accelerator-based IMRT  
and helical tomotherapy.

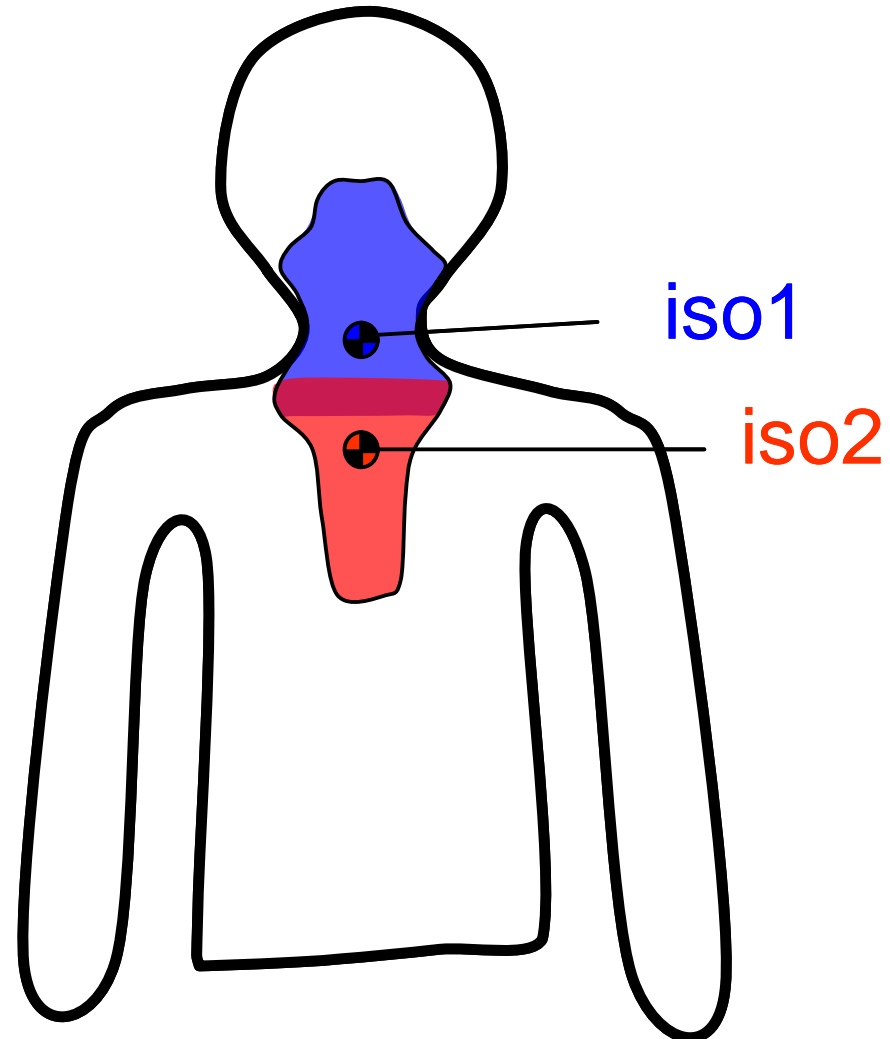
Int J Radiat Oncol Biol Phys. 2006 Jul 1;65(3):917-23



## Isozentrische X-Technik



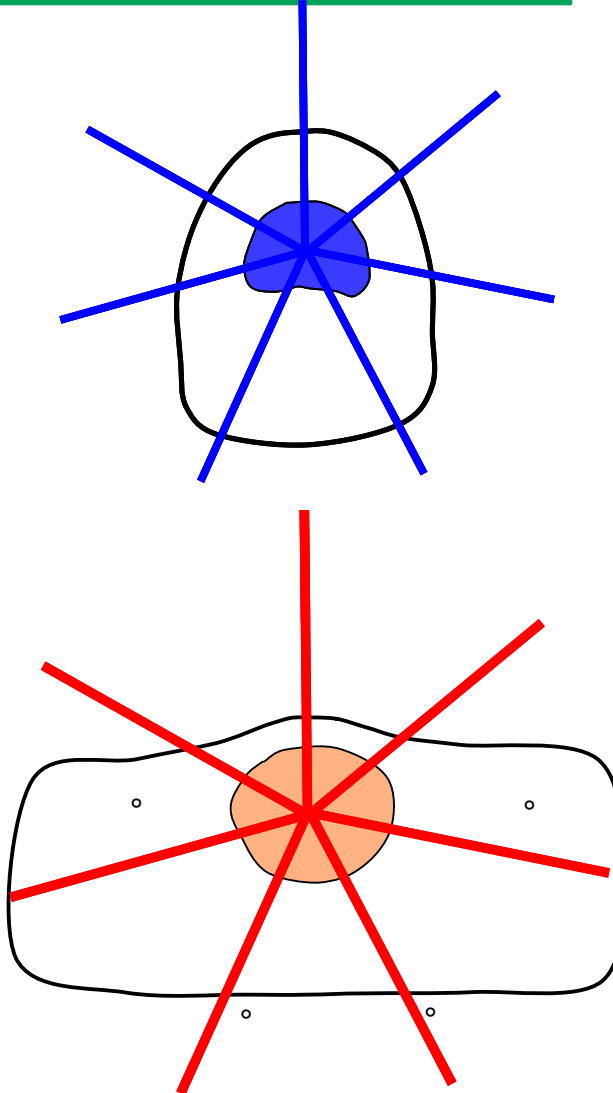
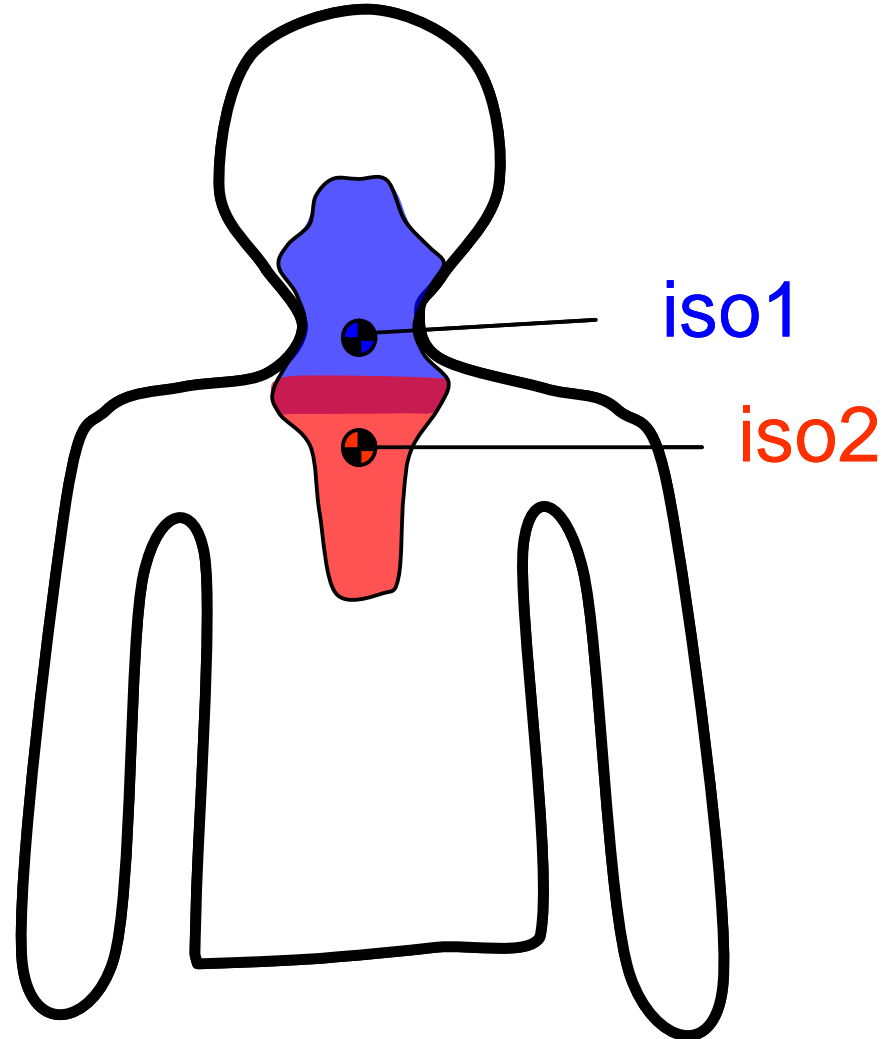
- Aufteilen in Subfelder
- mehrere Zielpunkte
- Überlapp ~ 3cm



iso1

iso2

# Isozentrische X-Technik



## Isozentrische X-Technik



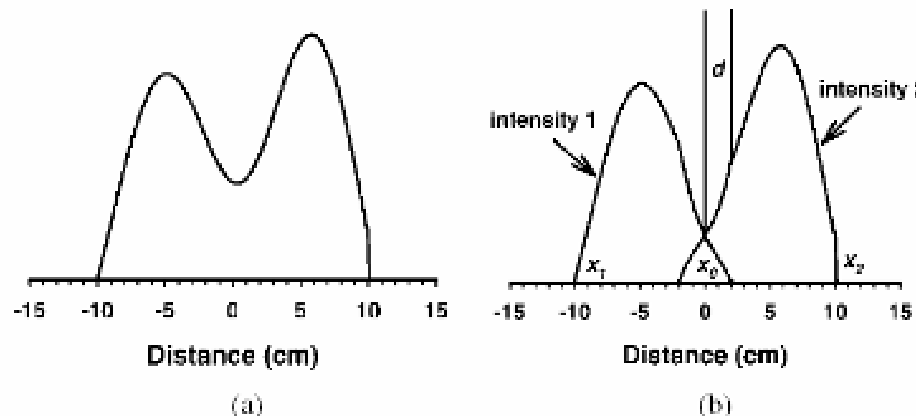
- Beispiel  
2 Zielpunkte, jeweils 9 Felder  
→ 18 Felder
- Malhotra et al.  
"Technical and dosimetric considerations in IMRT treatment planning for large target volumes".  
J Appl Clin Med Phys, 6(4): 77-87 (2005)



# Dynamic Feathering Method



- Methode zur Aufteilen großer IMRT-Felder in applizierbare Subfelder
- Überlapp der Feldkomponenten  $\sim 3\text{cm}$
- Sinkende/steigende Intensität am Feldrand



**Figure 1.** Dynamic splitting of intensity distributions of an IMRT field. (a) Original intensity for one leaf pair. (b) The split intensities of component fields 1 and 2. The field boundaries are  $x_1$  and  $x_2$ , the midpoint is  $x_0$ , and  $2d$  is the dynamic feathering width.

## Dynamic Feathering Method



- Kontinuierlicher Übergang Feldgrenzen
- Wu et al.  
Dynamic splitting of large intensity-modulated fields.  
Phys Med Biol, 45(7): 1731-1740 (2000)

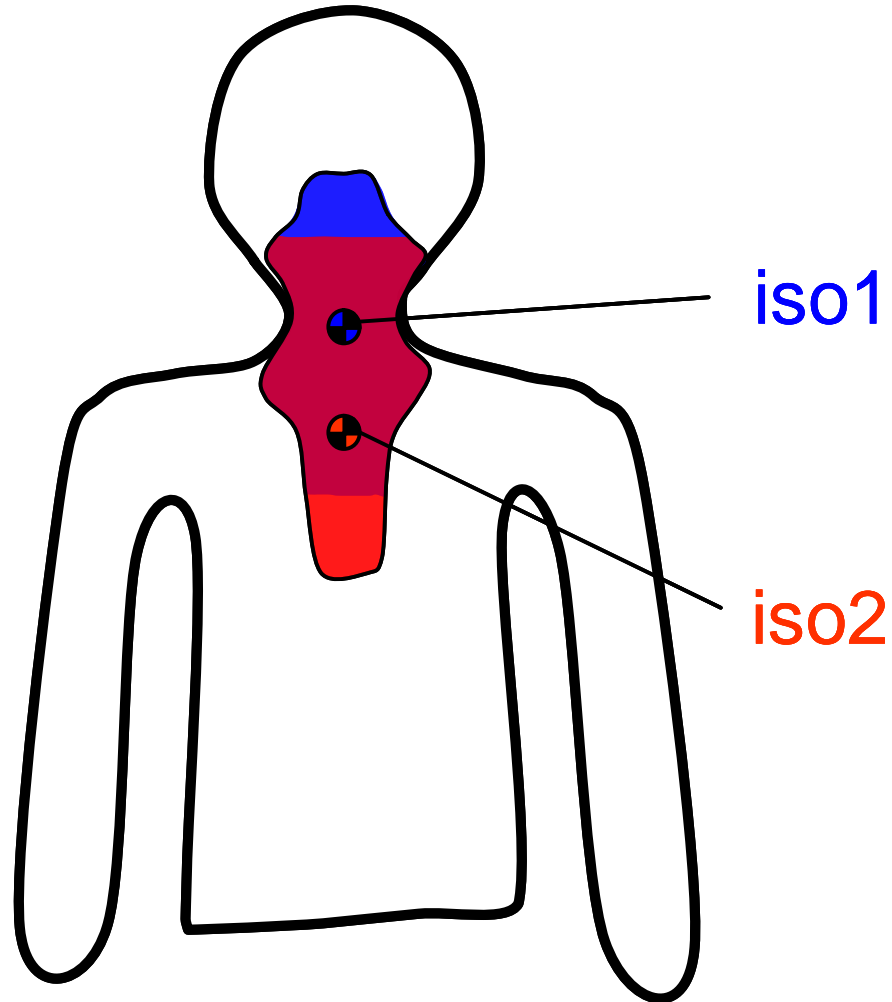
Hong et al.  
IMRT of large fields: whole-abdomen irradiation".  
Int J Radiat Oncol Biol Phys, 54(1): 278-289 (2002)



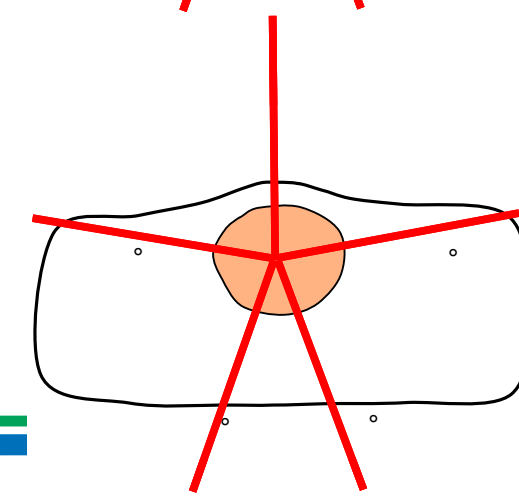
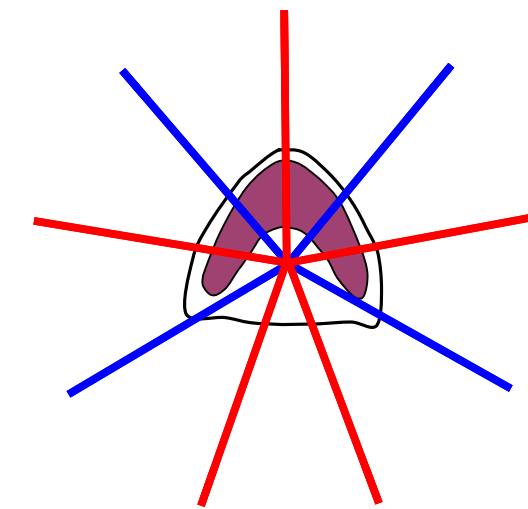
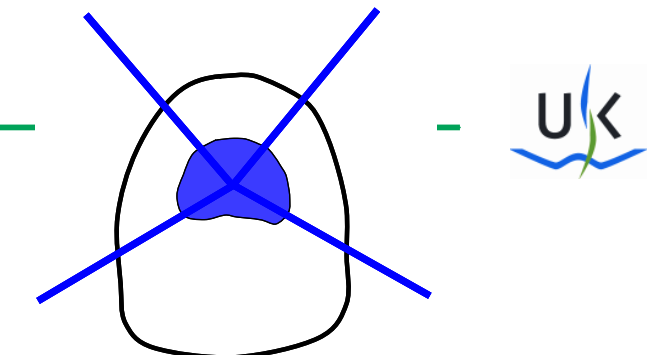
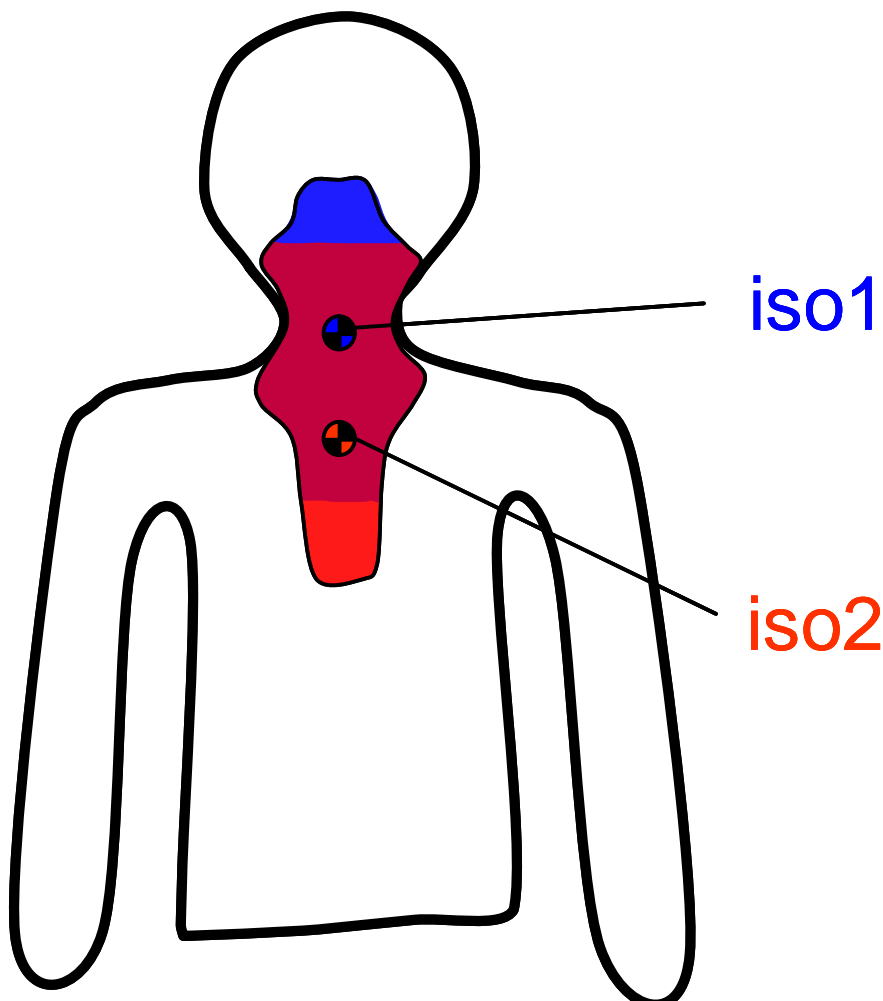
## Würzburger Ansatz – Verzahnte IMRT Technik



- Grundgedanke wie  
isozentrische X-Technik
- Kombination  
superior – 4 Felder  
inferior – 5 Felder
- Überlapp maximieren  
9 Felder



## **Verzahnte IMRT Technik**



## Vergleich

- verzahnte Technik (9 Felder)
- Isozentrische X-Technik (2x7 Felder)

## Planung

- 100 Segmente, mind. 3 MU, mind. 3 cm<sup>2</sup>, gleiche Objectives
- PTV1 69.6 Gy | PTV2 65.0 Gy | PTV3 52.0 Gy (D95)

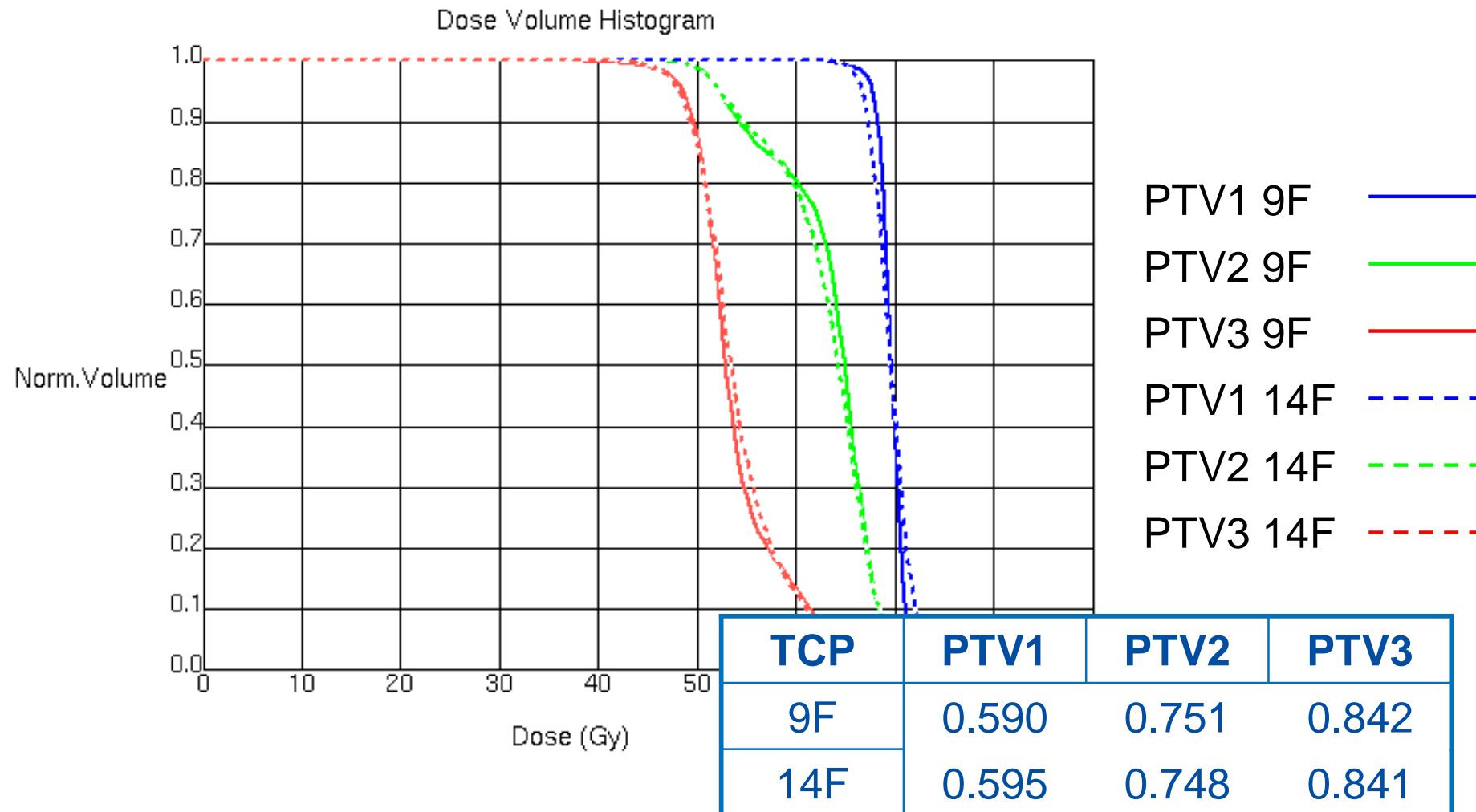
## Parameter

- DVH, TCP/NTCP

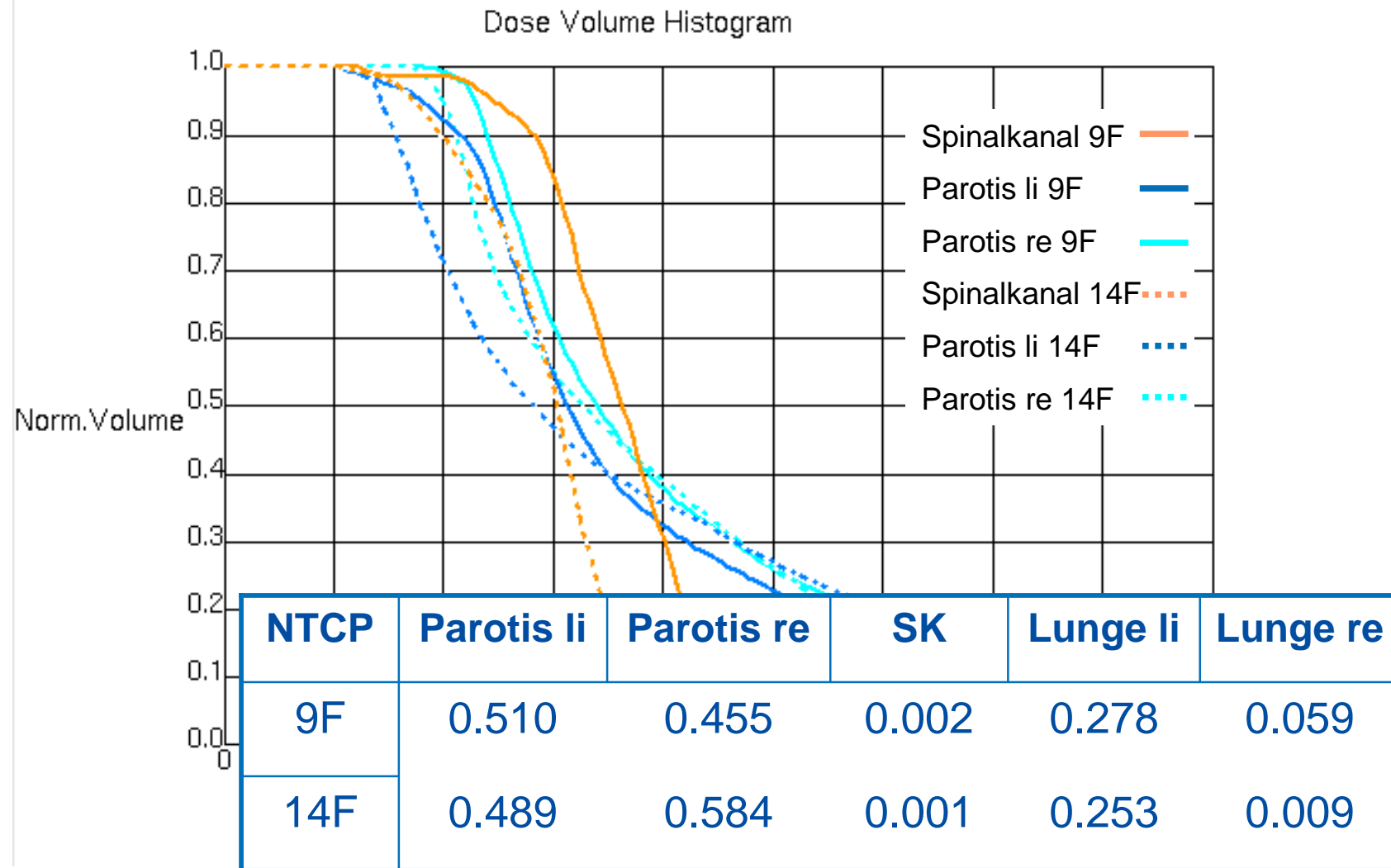
## Simulation Setup-Fehlern



# DVH Zielvolumen



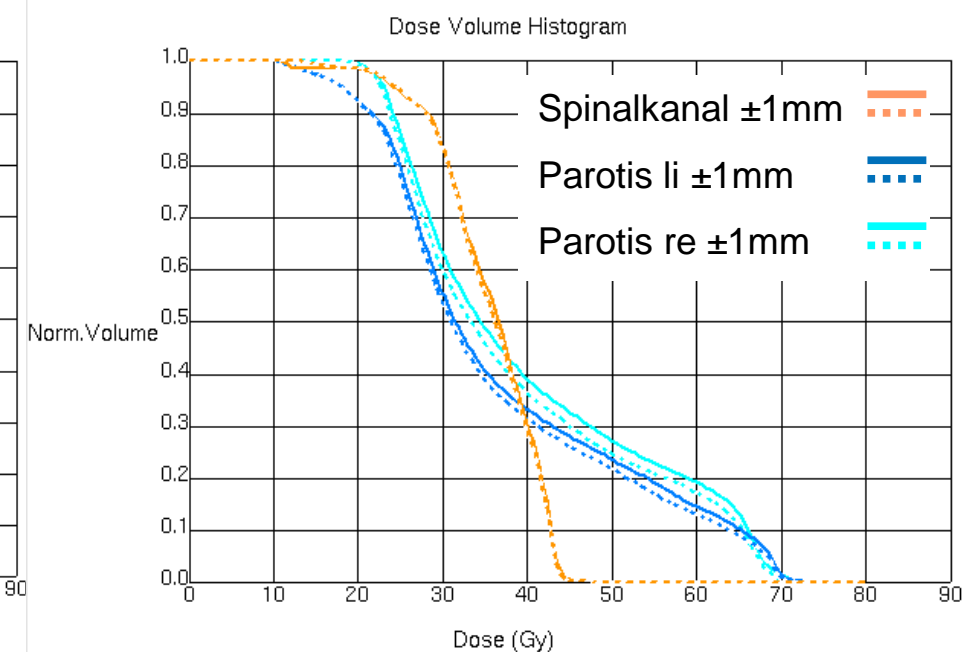
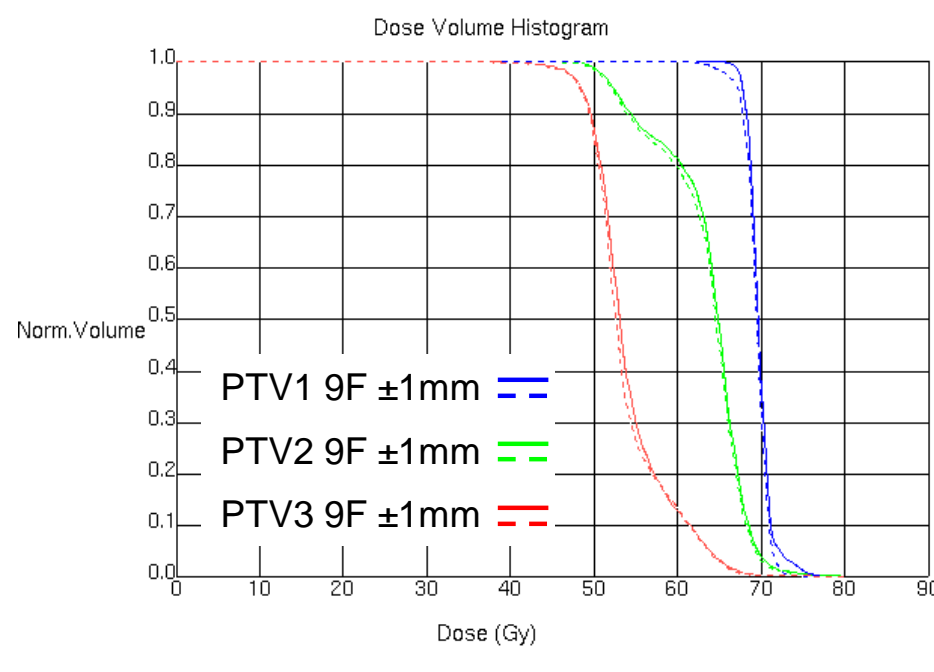
# DVH Risikoorgane



# Simulation von Setup-Fehlern



- Verschiebung Zielpunkte für beide Techniken  
 $\pm 1$  mm in superior-inferior Richtung
- Dosis Rekalkulation



## Simulation von Setup-Fehlern



- Einfluss auf mittlere Dosiswerte im Zielvolumen  
 $\Delta D \sim 0.4 \text{ Gy}$
- Einfluss auf Dosiswerte im Übergang  
 $\Delta D_{99} < 1 \%$        $\Delta D_{01} < 1 \%$
- Einfluss auf radiobiologische Werte  
 $\Delta \text{TCP} < 0.5 \%$        $\Delta \text{NTCP} < 4 \%$

## Fazit

---



- Planungsaufwand fast gleich
  - Qualität der Dosisverteilung vergleichbar
  - geringer Einfluss von Positionierungsungenauigkeit
  - IMRT-QA Aufwand gleich
  - geeignet für kleinere MLCs (BeamModulator)
  - Einstellung mit HexaPod-Tisch (vorteilhaft)
  - geringere Integraldosis (MUs) → Hall et al.
  - Prinzip vielseitig nutzbar → Aydogan et al.
- 
-

### Alternative

- IMRT 14F - zeitintensiv
  - 3DCRT Plan – aufwendig
  - Kombination  
IMRT superior  
3 Stehfelder inferior
- 
-



---



# Literatur

---



- Aydogan et al.  
Linac-based intensity modulated total marrow irradiation (IM-TMI).  
Technol Cancer Res Treat. 2006 Oct;5(5):513-19
  - Hall et al  
Intensity-modulated radiation therapy, protons, and the risk of second cancers.  
Int J Radiat Oncol Biol Phys. 2006 May 1;65(1):1-7.
  - Hong et al.  
IMRT of large fields: whole-abdomen irradiation".  
Int J Radiat Oncol Biol Phys, 54(1): 278-289 (2002)
  - Malhotra et al.  
"Technical and dosimetric considerations in IMRT treatment planning for large target volumes".  
J Appl Clin Med Phys, 6(4): 77-87 (2005)
  - Sheng et al.  
Intensity-modulated radiation therapy (IMRT) dosimetry of the head and neck: a comparison of treatment plans using linear accelerator-based IMRT and helical tomotherapy.  
Int J Radiat Oncol Biol Phys. 2006 Jul 1;65(3):917-23
  - Wu et al.  
Dynamic splitting of large intensity-modulated fields. Phys Med Biol, 45(7): 1731-1740 (2000)
- 
-